

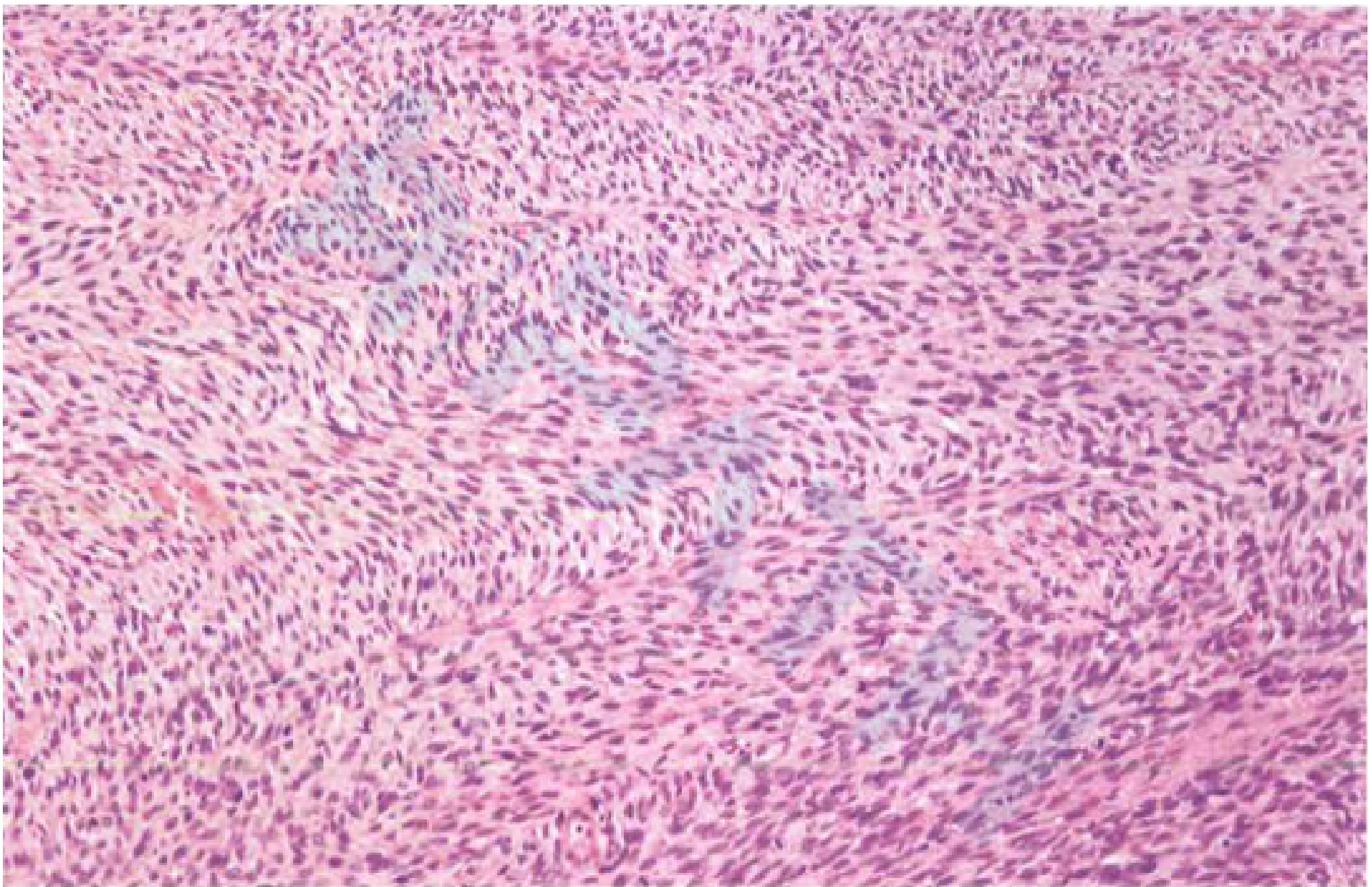
# **Novel NTRK3 Fusions in Fibrosarcomas of Adults**

**汇报人：宋 征**

# 成人型纤维肉瘤

- 由纤维母细胞和不等量胶原纤维组成的恶性肿瘤
- 是一种排除性诊断
- 多见于中老年人，无明显性别差异
- 好发于四肢、躯干和头颈部的深部软组织
- 表现为伴有或不伴疼痛的包块
- 大体：界限清楚的白色或褐色肿物，高级别肿瘤内可见出血和坏死

- 组织学：
  - ✓ 由梭形瘤细胞构成，束状、“**鱼骨样**”、席纹状排列
  - ✓ 细胞核两端渐细、深染，核仁明显，胞质稀少
  - ✓ 常可见到不同程度的核分裂活性
  - ✓ 间质含有不等量的胶原纤维，可形成细胞稀疏的弥漫性或“瘢痕样”硬化或玻璃样变区域
- 免疫组化：Vim、CD34、SMA (+)
- 分子遗传学：多种复杂的染色体异常，无特异性改变



摘自2013版骨与软组织WHO

# NTRK

- 神经营养性酪氨酸激酶受体基因，包括NTRK1, NTRK2和NTRK3
- 编码原肌球受体激酶蛋白TRKA, TRKB和TRKC
- 神经细胞生长和分化中发挥重要的生理作用
- NTRK基因突变形式最常见的是基因融合
- 与很多良恶性肿瘤的发生相关，包括上皮，间叶，黑色素细胞，神经胶质和血液淋巴系统

# NTRK

- 针对NTRK基因的酪氨酸激酶抑制剂（包括恩曲替尼和拉罗替尼）进入临床应用
- NTRK重排相关肉瘤多发生于儿童，亦可见于成年人
- 肿瘤发生部位多变，包括软组织和器官
- ETV6-NTRK3融合与婴儿型纤维肉瘤、富于细胞型中胚层肾瘤及大多数儿科浅表肿瘤明确相关

Histopathology. 2016 Jul;69(1):72-83. doi: 10.1111/his.12910. Epub 2016 Jan 19.

## ALK, ROS1 and NTRK3 gene rearrangements in inflammatory myofibroblastic tumours.

Yamamoto H<sup>1</sup>, Yoshida A<sup>2</sup>, Taguchi K<sup>3</sup>, Kohashi K<sup>1</sup>, Hatanaka Y<sup>1</sup>, Yamashita A<sup>4</sup>, Mori D<sup>5</sup>, Oda Y<sup>1</sup>.

## 炎症性肌纤维母细胞瘤 ETV6-NTRK3

J Pathol. 2016 Mar;238(4):543-9. doi: 10.1002/path.4677. Epub 2016 Jan 25.

## Transcriptome sequencing identifies ETV6-NTRK3 as a gene fusion involved in GIST.

Brenca M<sup>1</sup>, Rossi S<sup>2</sup>, Polano M<sup>1</sup>, Gasparotto D<sup>1</sup>, Zanatta L<sup>2</sup>, Racanelli D<sup>1</sup>, Valori L<sup>2</sup>, Lamon S<sup>3</sup>, Dei Tos AP<sup>2</sup>, Maestro R<sup>1</sup>.

## 胃肠道间质瘤 ETV6-NTRK3

J Pathol. 2016 Apr;238(5):700-10. doi: 10.1002/path.4701.

## Paediatric and adult soft tissue sarcomas with NTRK1 gene fusions: a subset of spindle cell sarcomas unified by a prominent myopericytic/haemangiopericytic pattern.

Haller F<sup>1</sup>, Knopf J<sup>1</sup>, Ackermann A<sup>1</sup>, Bieg M<sup>2</sup>, Kleinheinz K<sup>2</sup>, Schlesner M<sup>2</sup>, Moskalev EA<sup>1</sup>, Will R<sup>3</sup>, Satir AA<sup>4</sup>, Abdelmaqid IE<sup>5</sup>, Giedl J<sup>1</sup>, Carbon R<sup>6</sup>, Rompel O<sup>7</sup>, Hartmann A<sup>1</sup>, Wiemann S<sup>3,8</sup>, Metzler M<sup>9</sup>, Agaimy A<sup>1</sup>.

## 软组织肉瘤 LMNA-NTRK1

Mod Pathol. 2018 Mar;31(3):463-473. doi: 10.1038/modpathol.2017.127. Epub 2017 Nov 3.

## Recurrent EML4-NTRK3 fusions in infantile fibrosarcoma and congenital mesoblastic nephroma suggest a revised testing strategy.

Church AJ<sup>1</sup>, Calicchio ML<sup>2</sup>, Nardi V<sup>3</sup>, Skalova A<sup>4</sup>, Pinto A<sup>5</sup>, Dillon DA<sup>6</sup>, Gomez-Fernandez CR<sup>5</sup>, Manoj N<sup>7</sup>, Haines JD<sup>7</sup>, Stahl JA<sup>7</sup>, Dela Cruz FS<sup>8</sup>, Tannenbaum-Dvir S<sup>9</sup>, Glade-Bender JL<sup>9</sup>, Kung AL<sup>7</sup>, DuBois SG<sup>10</sup>, Kozakewich HP<sup>1</sup>, Janeway KA<sup>10</sup>, Perez-Atayde AR<sup>1</sup>, Harris MH<sup>1</sup>.

## 婴儿型纤维肉瘤 EML4-NTRK3

[Am J Surg Pathol.](#) 2016 Oct;40(10):1407-16. doi: 10.1097/PAS.0000000000000675.

## **Recurrent NTRK1 Gene Fusions Define a Novel Subset of Locally Aggressive Lipofibromatosis-like Neural Tumors.**

[Agaram NP<sup>1</sup>](#), [Zhang L](#), [Sung YS](#), [Chen CL](#), [Chung CT](#), [Antonescu CR](#), [Fletcher CD](#).

## **脂肪纤维瘤病样神经肿瘤 NTRK1融合**

[J Natl Cancer Inst.](#) 2015 Nov 12;108(1). pii: djv307. doi: 10.1093/jnci/djv307. Print 2016 Jan.

## **Evaluation of a Congenital Infantile Fibrosarcoma by Comprehensive Genomic Profiling Reveals an LMNA-NTRK1 Gene Fusion Responsive to Crizotinib.**

[Wong V](#), [Pavlick D](#), [Brennan T](#), [Yelensky R](#), [Crawford J](#), [Ross JS](#), [Miller VA](#), [Malicki D](#), [Stephens PJ](#), [Ali SM<sup>1</sup>](#), [Ahn H](#).

## **婴儿型纤维肉瘤 LMNA-NTRK1**

[Am J Surg Pathol.](#) 2018 Jun;42(6):791-798. doi: 10.1097/PAS.0000000000001055.

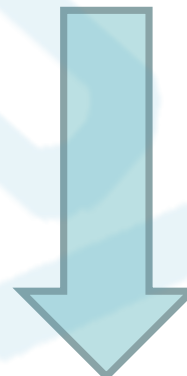
## **NTRK Fusions Define a Novel Uterine Sarcoma Subtype With Features of Fibrosarcoma.**

[Chiang S<sup>1</sup>](#), [Cotzia P<sup>1</sup>](#), [Hyman DM<sup>2</sup>](#), [Drilon A<sup>3</sup>](#), [Tap WD<sup>4</sup>](#), [Zhang L<sup>1</sup>](#), [Hechtman JF<sup>1</sup>](#), [Frosina D<sup>1</sup>](#), [Jungbluth AA<sup>1</sup>](#), [Murali R<sup>1</sup>](#), [Park KJ<sup>1</sup>](#), [Soslow RA<sup>1</sup>](#), [Oliva E<sup>5,6</sup>](#), [Iafrate AJ<sup>5,6</sup>](#), [Benayed R<sup>1</sup>](#), [Ladanyi M<sup>1</sup>](#), [Antonescu CR<sup>1</sup>](#).

## **子宫肉瘤 NTRK1融合、NTRK3融合**

# 目的

2例成人型纤维肉瘤



新的NTRK3融合基因

# 材料与方法

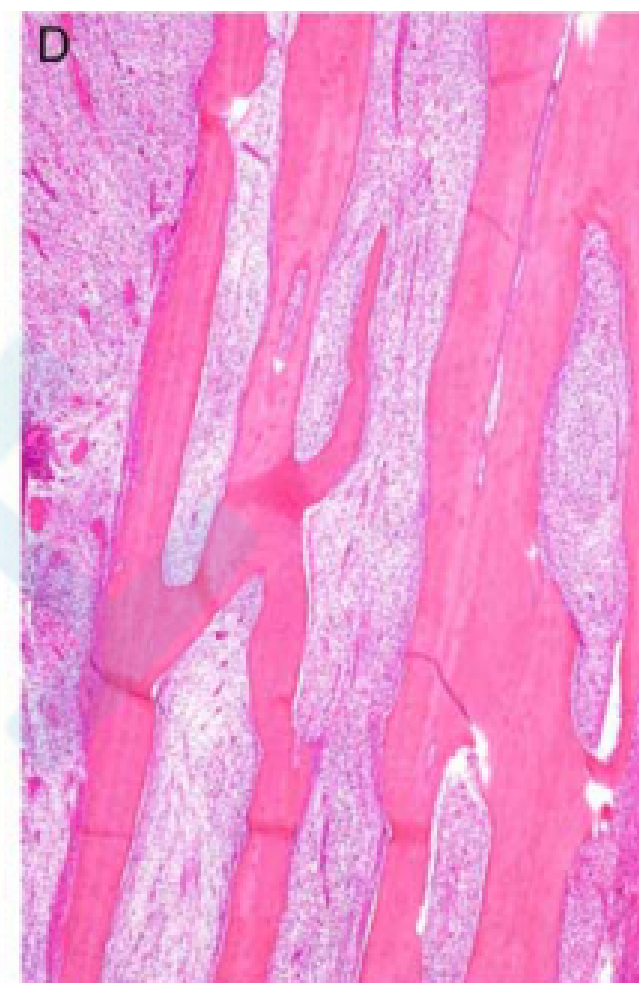
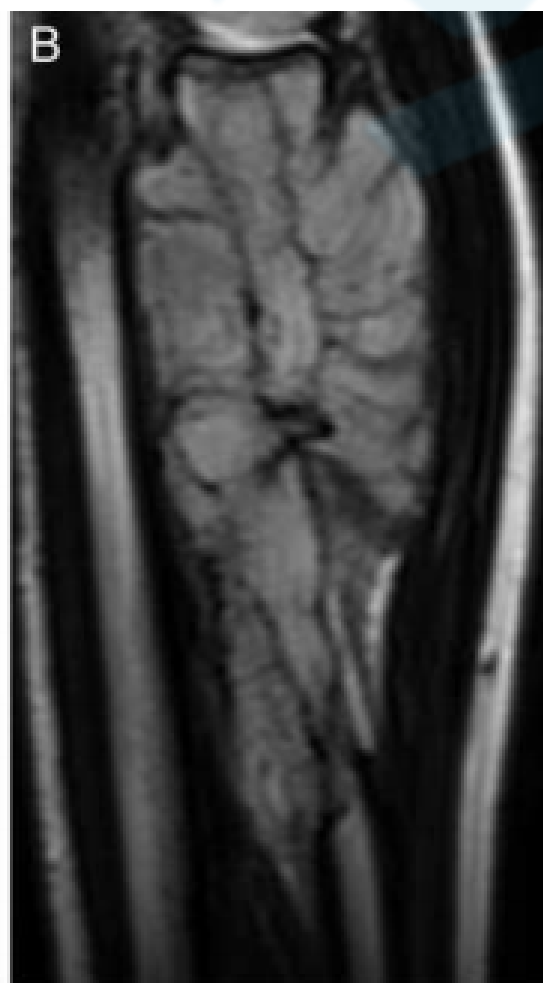
- RNA测序
- 反转录PCR
- FISH: NTRK3
- 免疫组化: Pan-TRK

# Case 1

• 38岁，女性

• 左前臂疼痛性肿物

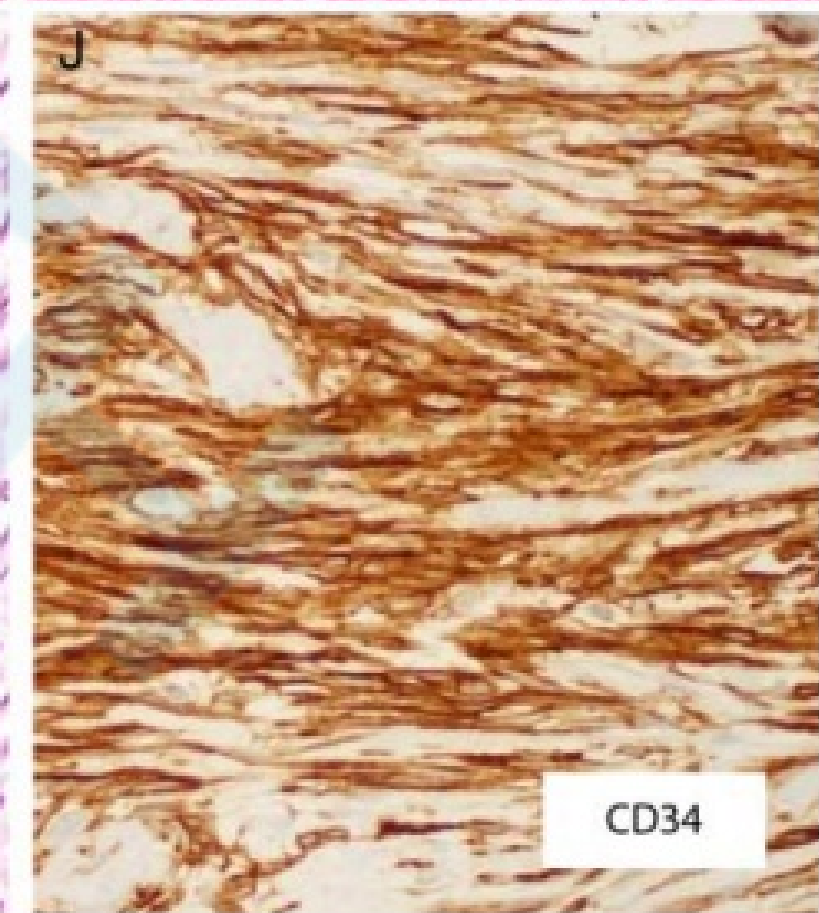
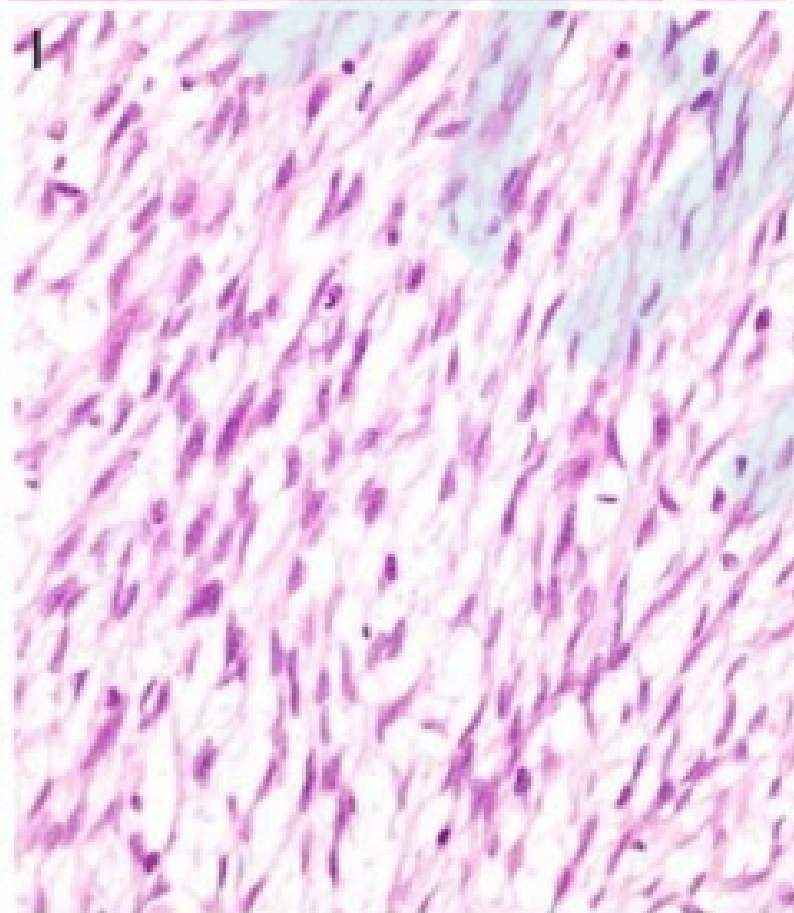
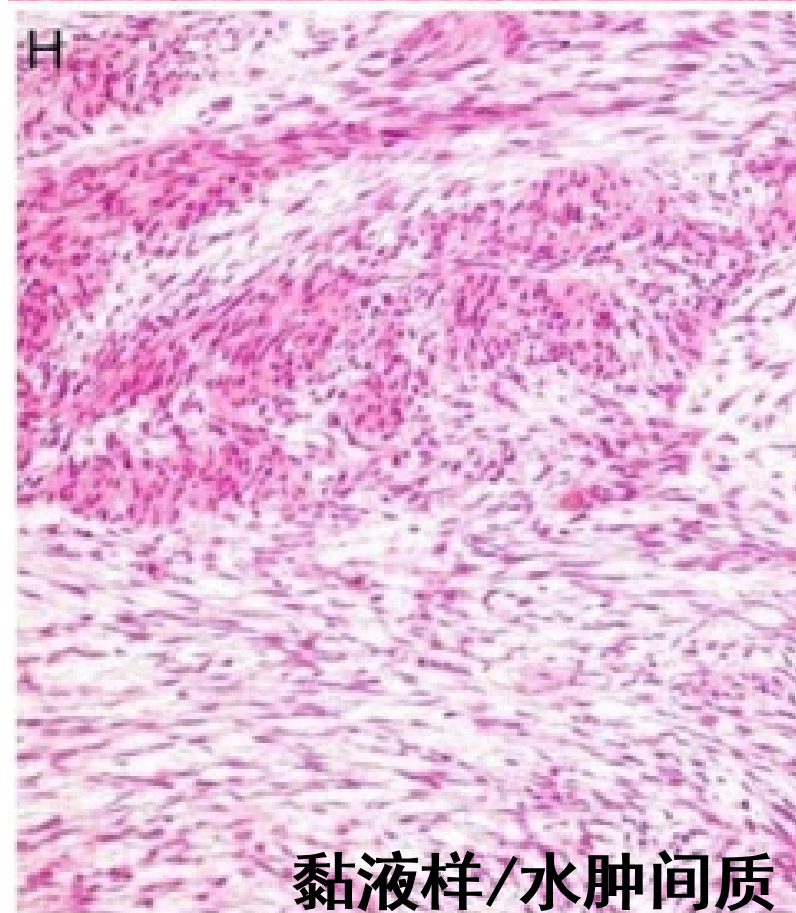
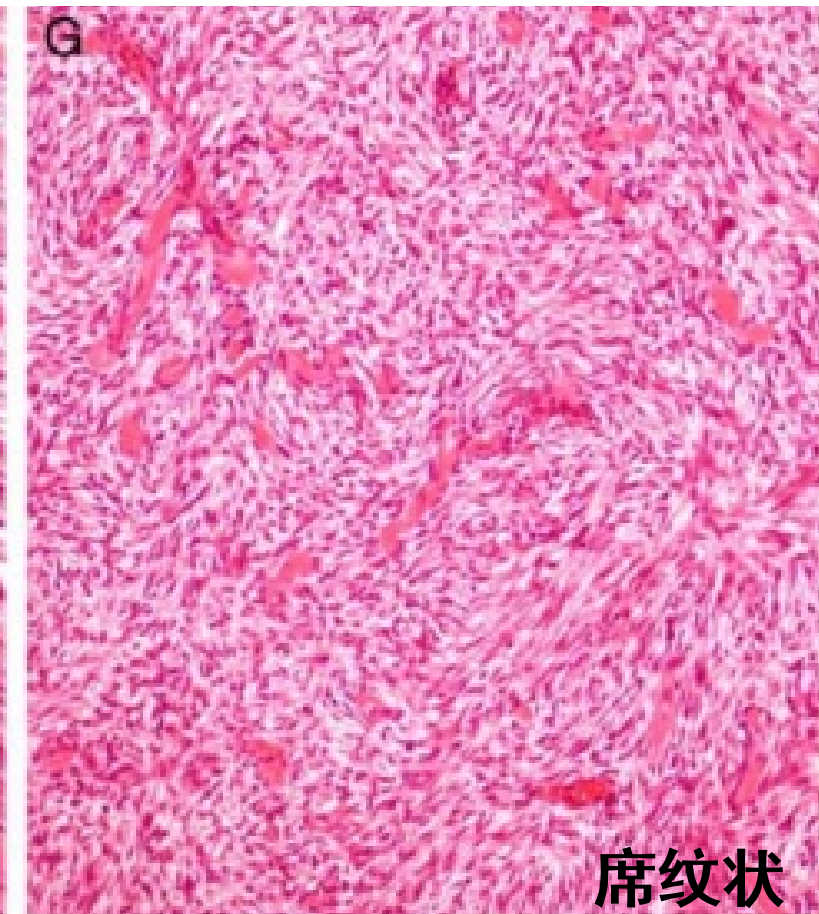
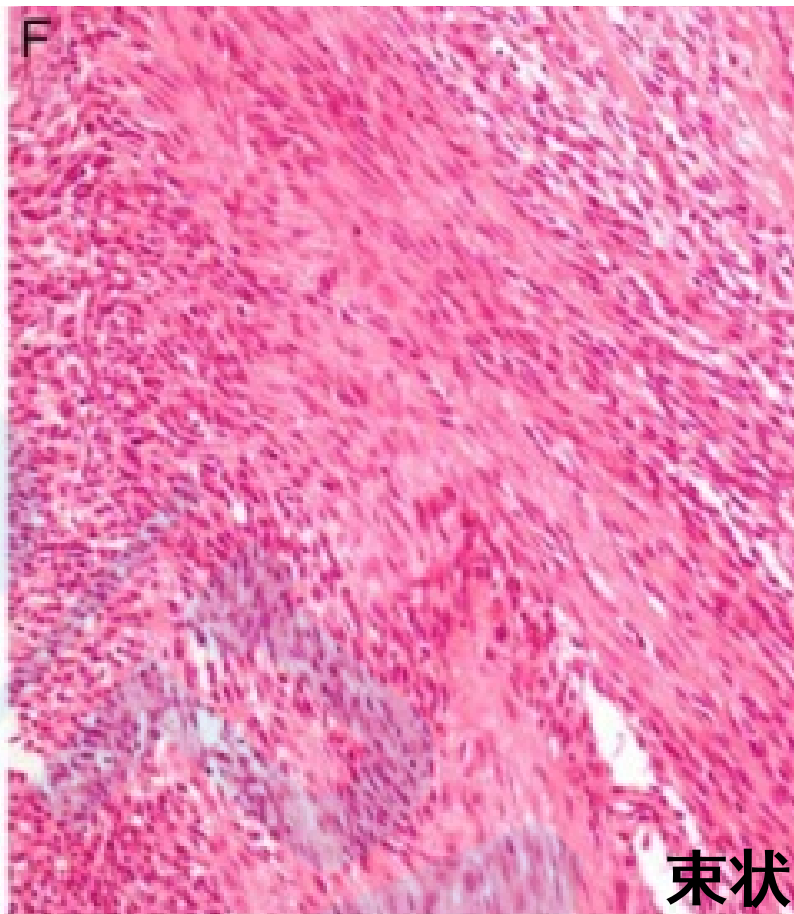
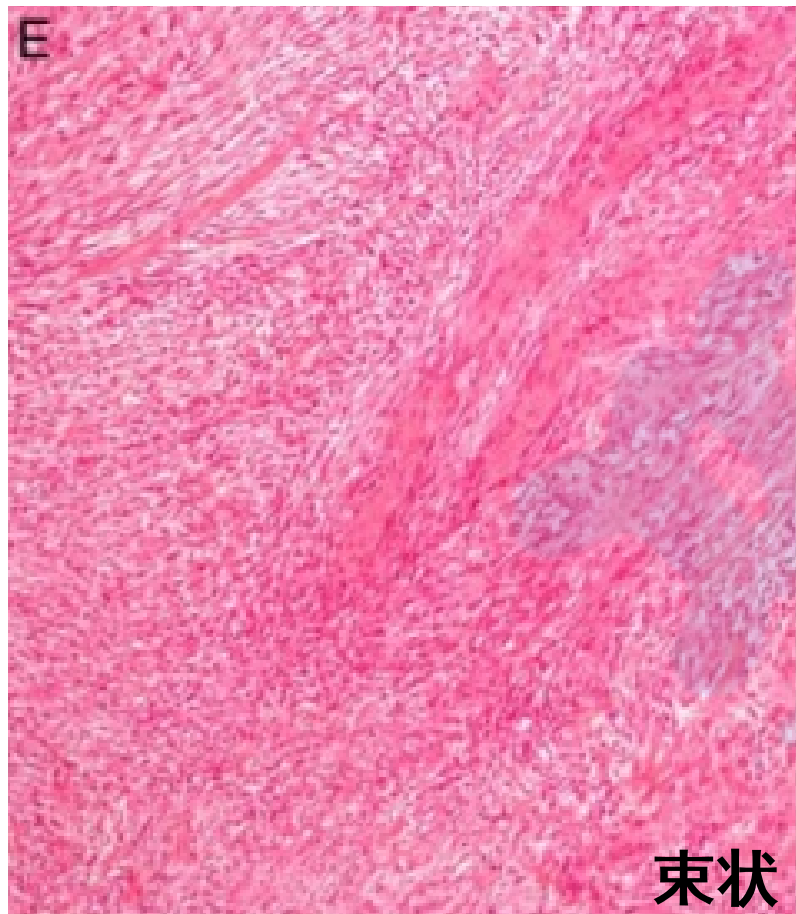
- 影像学：桡骨分叶状溶骨性肿瘤，伴复杂的成骨反应
- 大体：界限清楚，灰白色， $8.7 \times 4.0 \times 3.9\text{cm}$



•组织学：

- ✓ 长梭形瘤细胞轻度异型，束状、席纹状排列
- ✓ 黏液样/水肿间质形成细胞疏密相间区
- ✓ 无血管外皮瘤样血管、骨样或软骨样基质、坏死
- ✓ 核分裂3/10 HPF

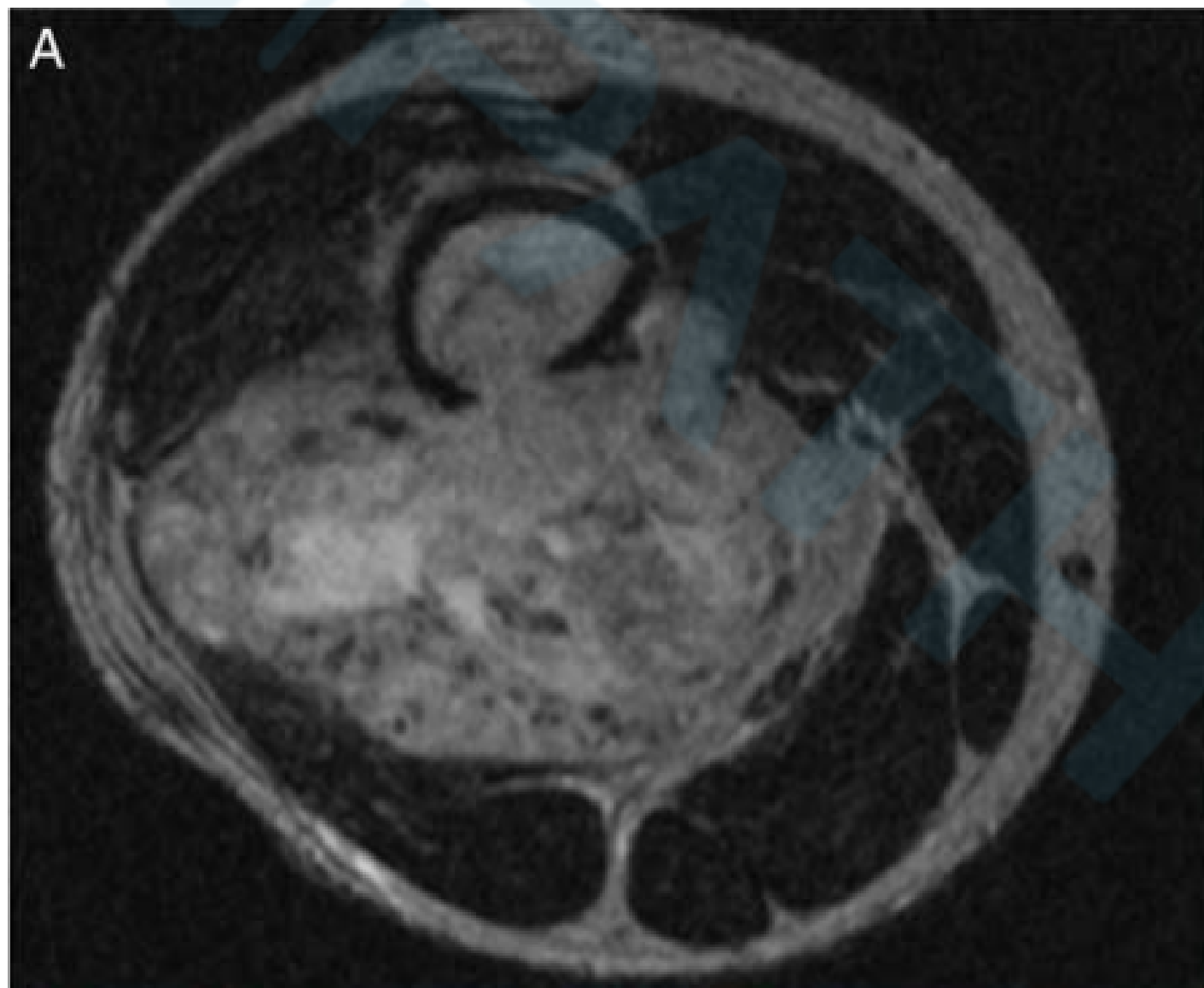
•免疫组化：CD34弥漫 (+) , 少数SMA (+) ,  
AE1/AE3、EMA、S100、desmin、myogenin、h-cald、  
STAT6、MDM2 (-)



- 诊断：低级别纤维肉瘤
- 术后69个月多发肺转移
- 部分转移灶行肺楔形切除术，随后的新发病灶行放疗
- 首次术后，患者带病生存113个月

# Case 2

- 26岁，男性
- 右大腿疼痛性肿物
- 影像学：巨大的肌肉内肿瘤，并侵犯股骨

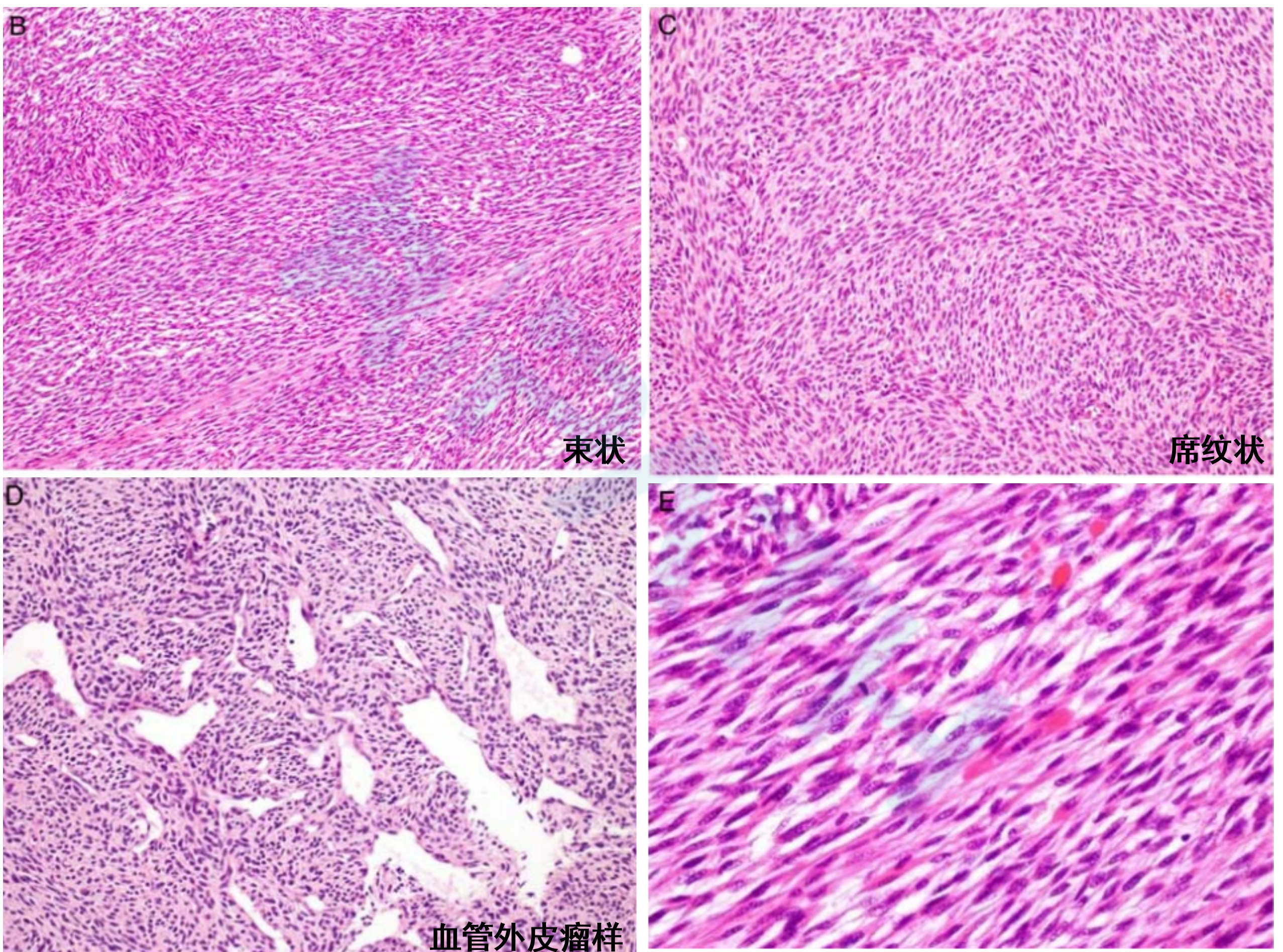


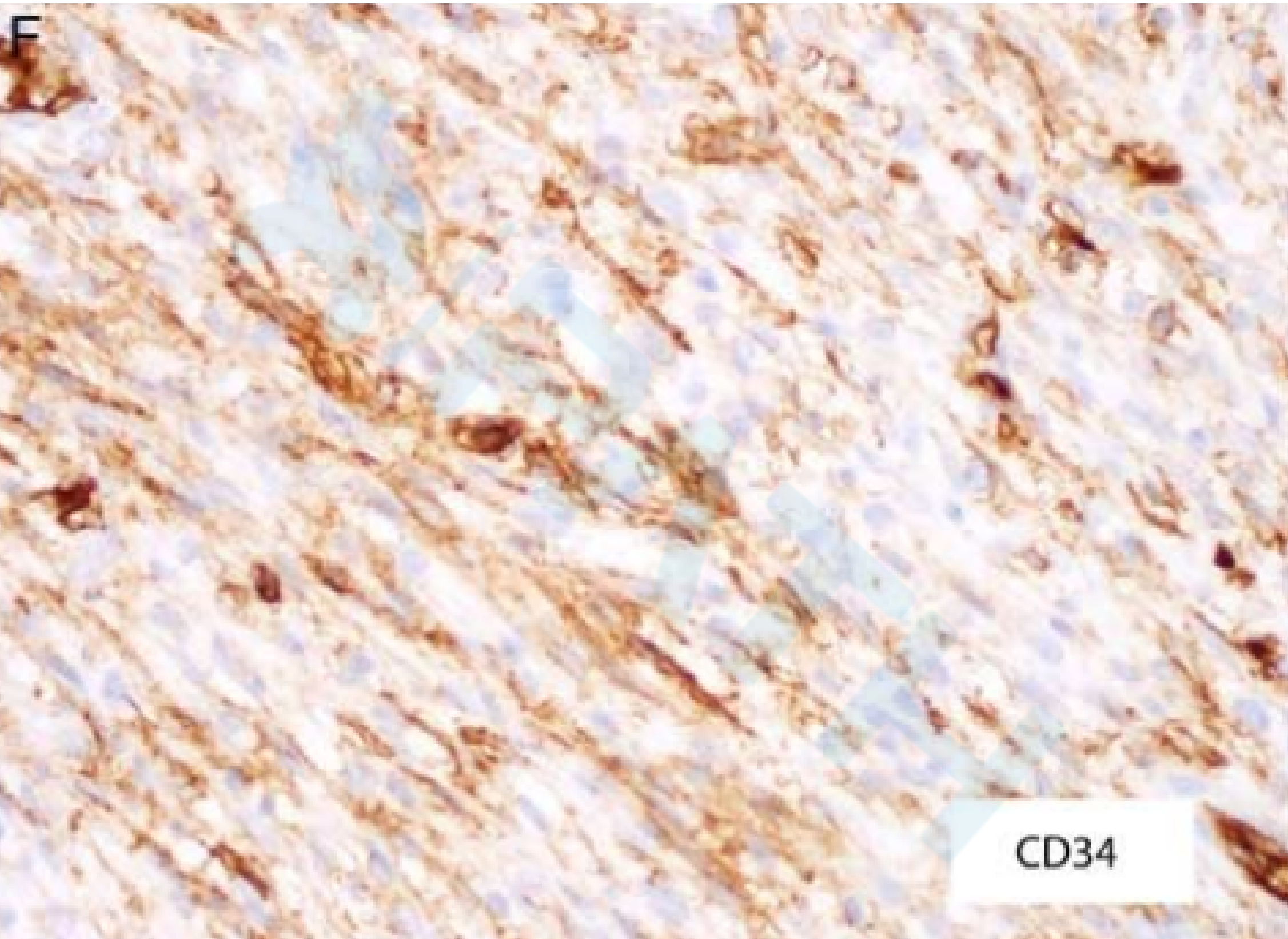
·大体：界限清楚，灰白质软肿物，最大径11.5cm

·组织学：

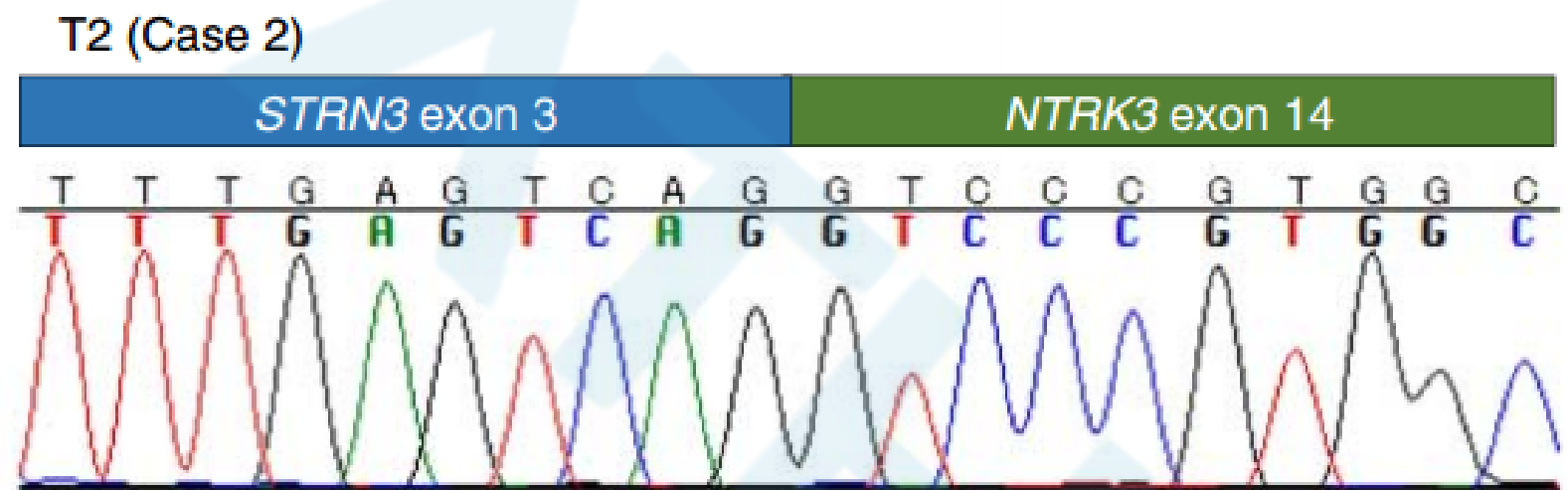
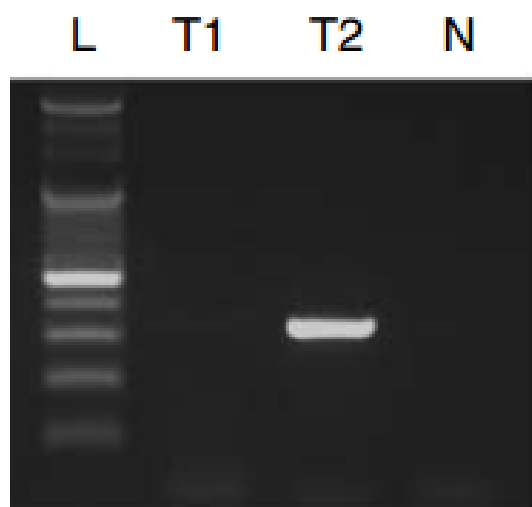
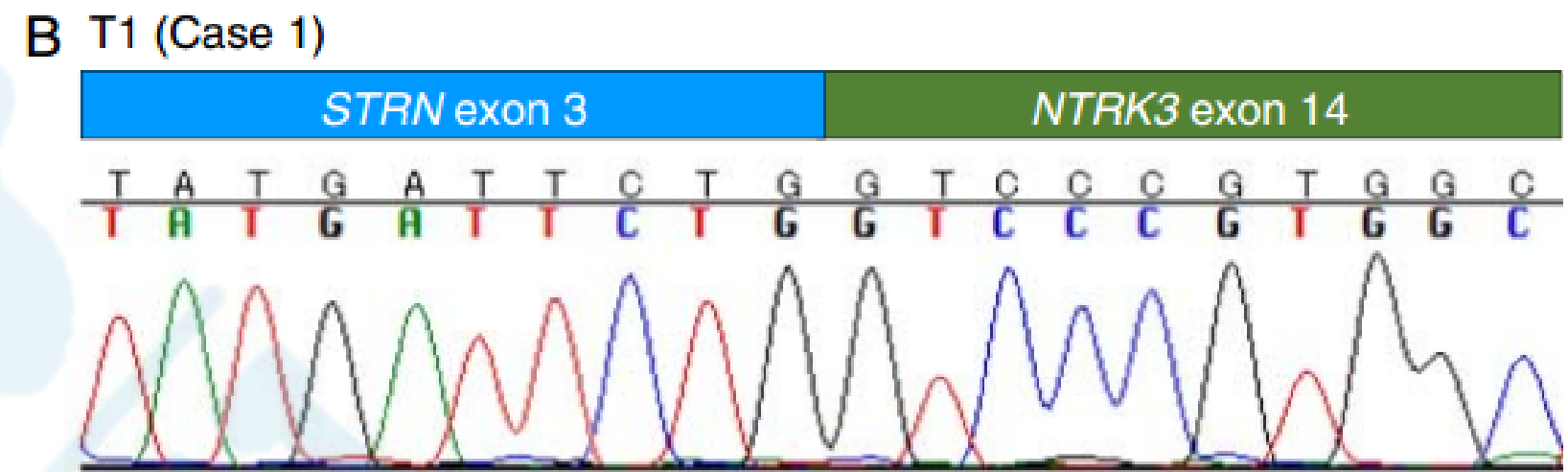
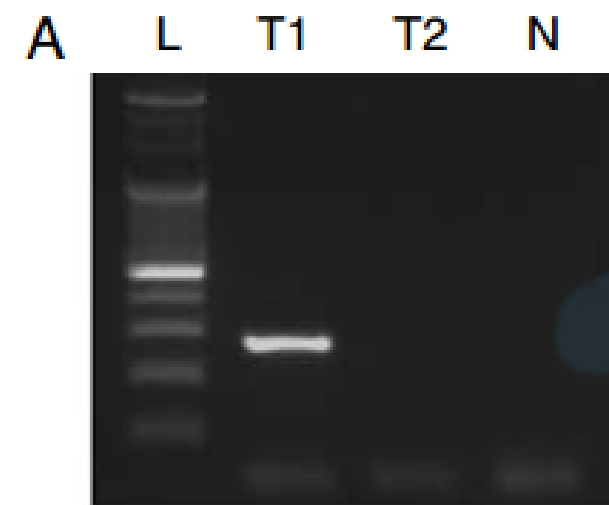
- ✓ 梭形瘤细胞束状排列，局灶“鱼骨样”，偶见席纹状
- ✓ 细胞轻-中度异型
- ✓ 可见血管外皮瘤样血管，局灶坏死
- ✓ 未见骨软骨样分化
- ✓ 核分裂12/10 HPF

·免疫组化：CD34多灶（+），少数SMA（+），  
AE1/AE3、EMA、S100、desmin、h-cald、STAT6（-）

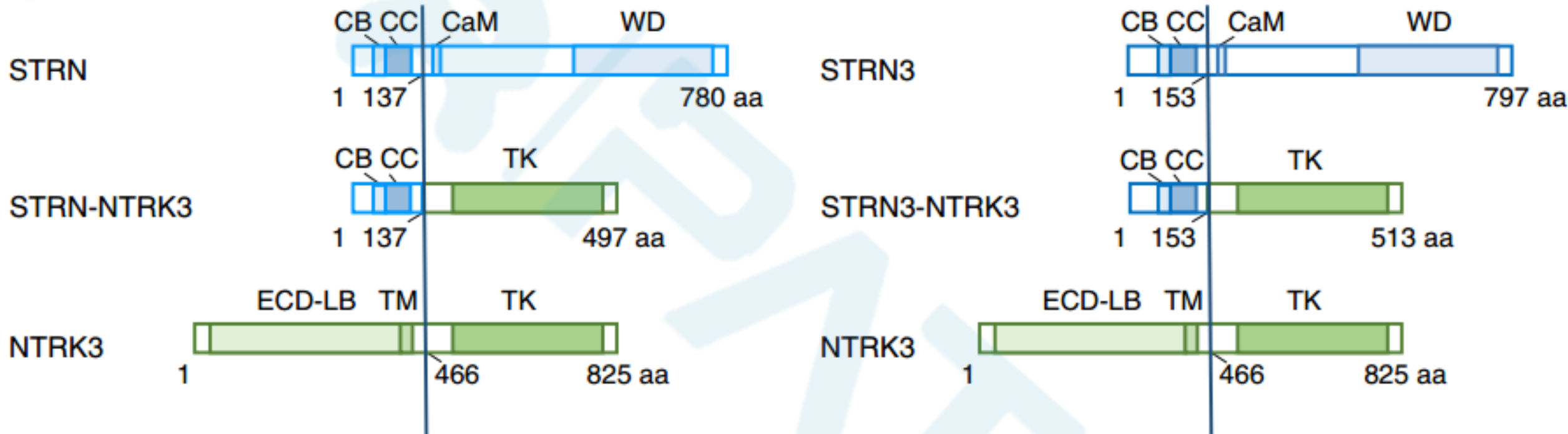




- 诊断：纤维肉瘤，2级
- 术后18个月多发肺转移
- 化疗无效，术后29个月患者死亡



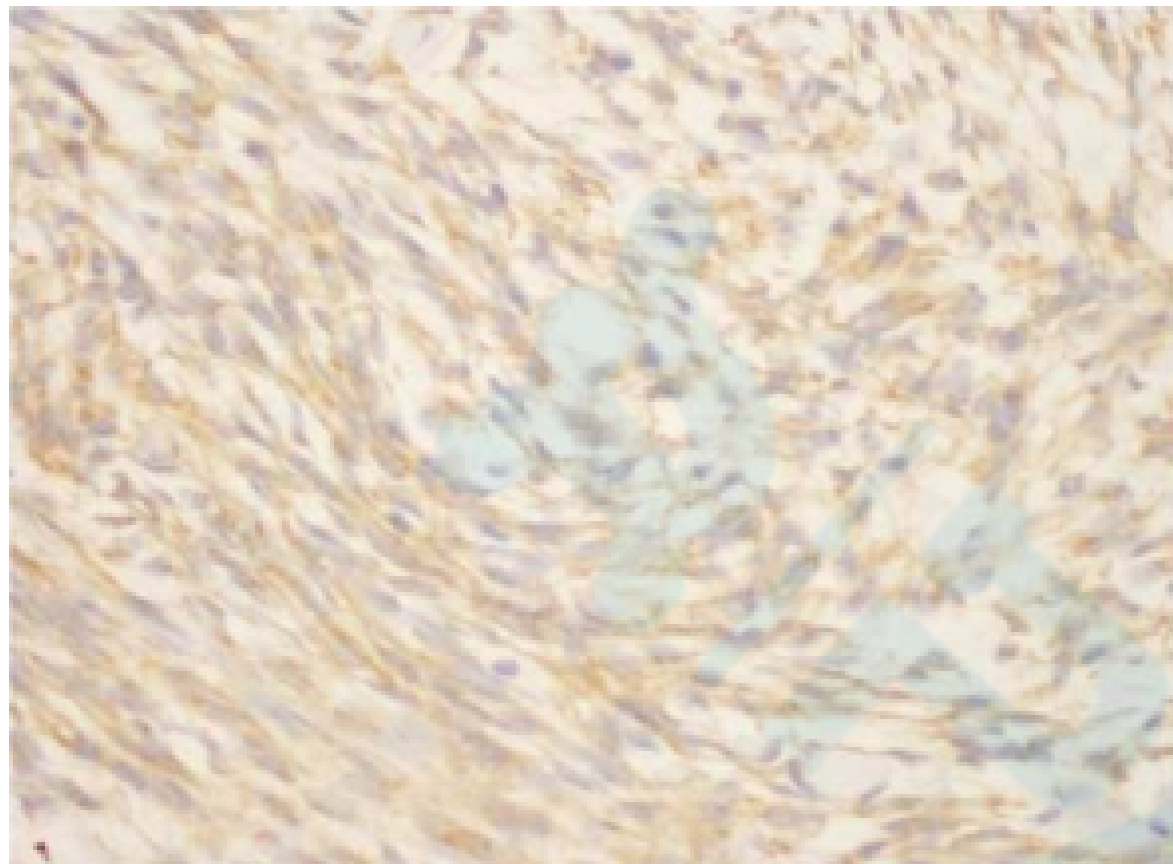
C



**CaM:** 钙调蛋白结合域; **CB:** 小窝蛋白结合域; **CC,** 卷曲螺旋结构域;  
**ECD-LB,** 细胞外配体结合域; **TK,** 酪氨酸激酶域; **TM,** 跨膜结构域; **WD,**  
**WD重复蛋白。**

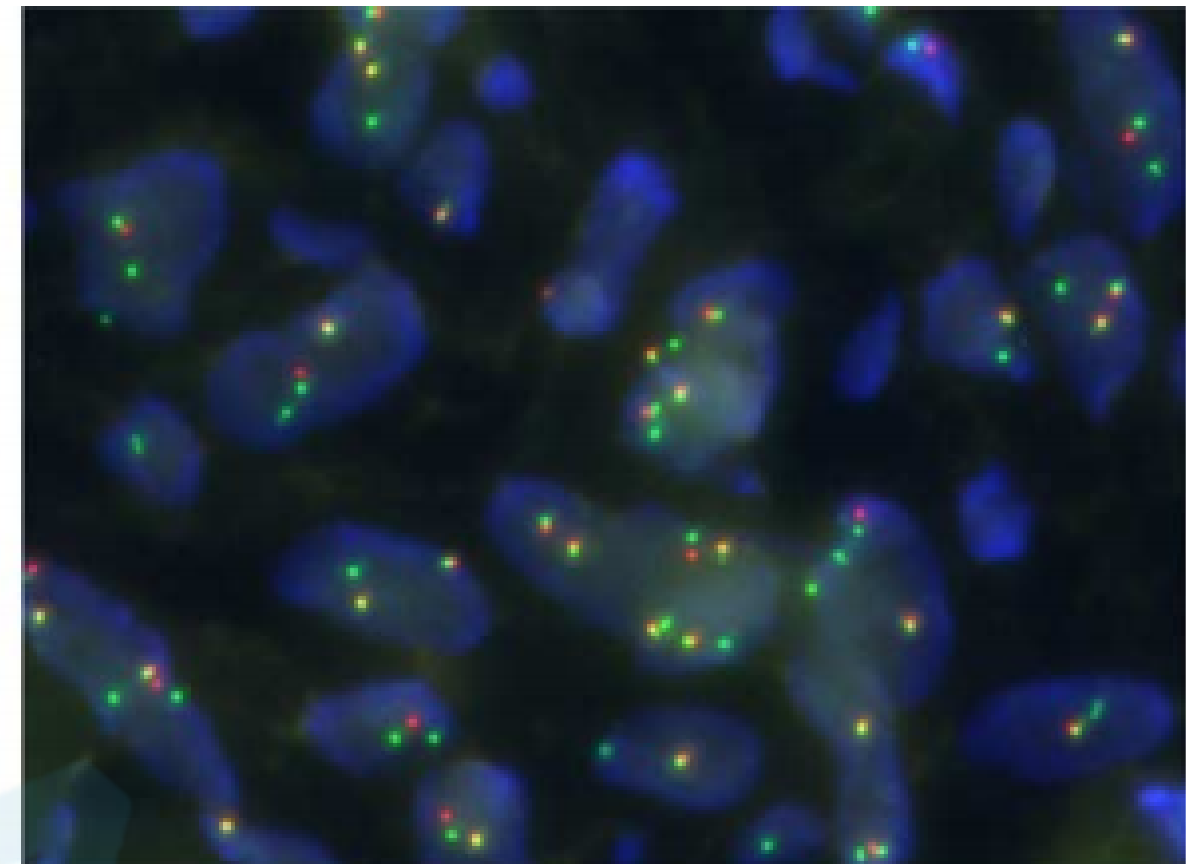
- STRN基因编码纹蛋白
- 主要分布于神经系统、心脏、肾脏及血管中
- 参与信号复合物，细胞组装骨架，调控细胞周期和囊泡运输
- STRN-ALK融合：甲状腺癌和肺癌

Pan-TRK IHC

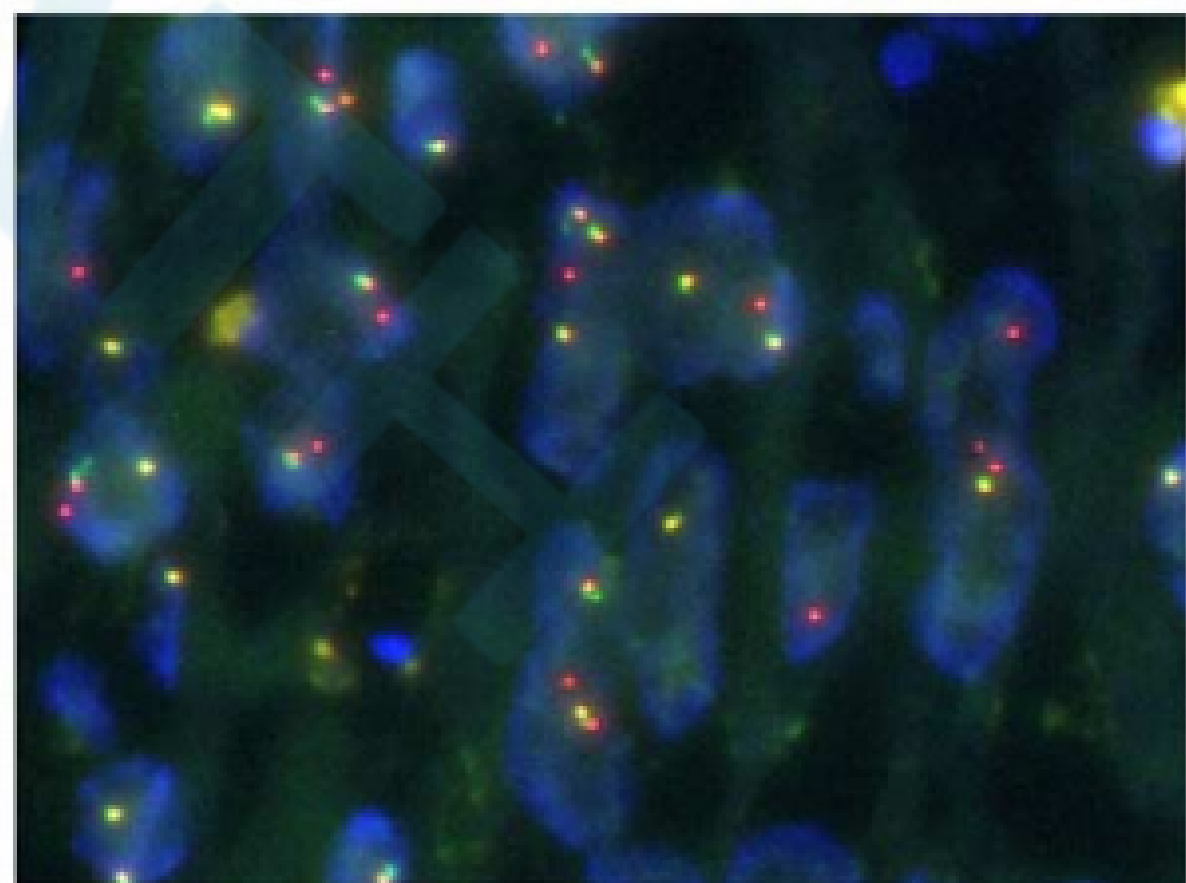
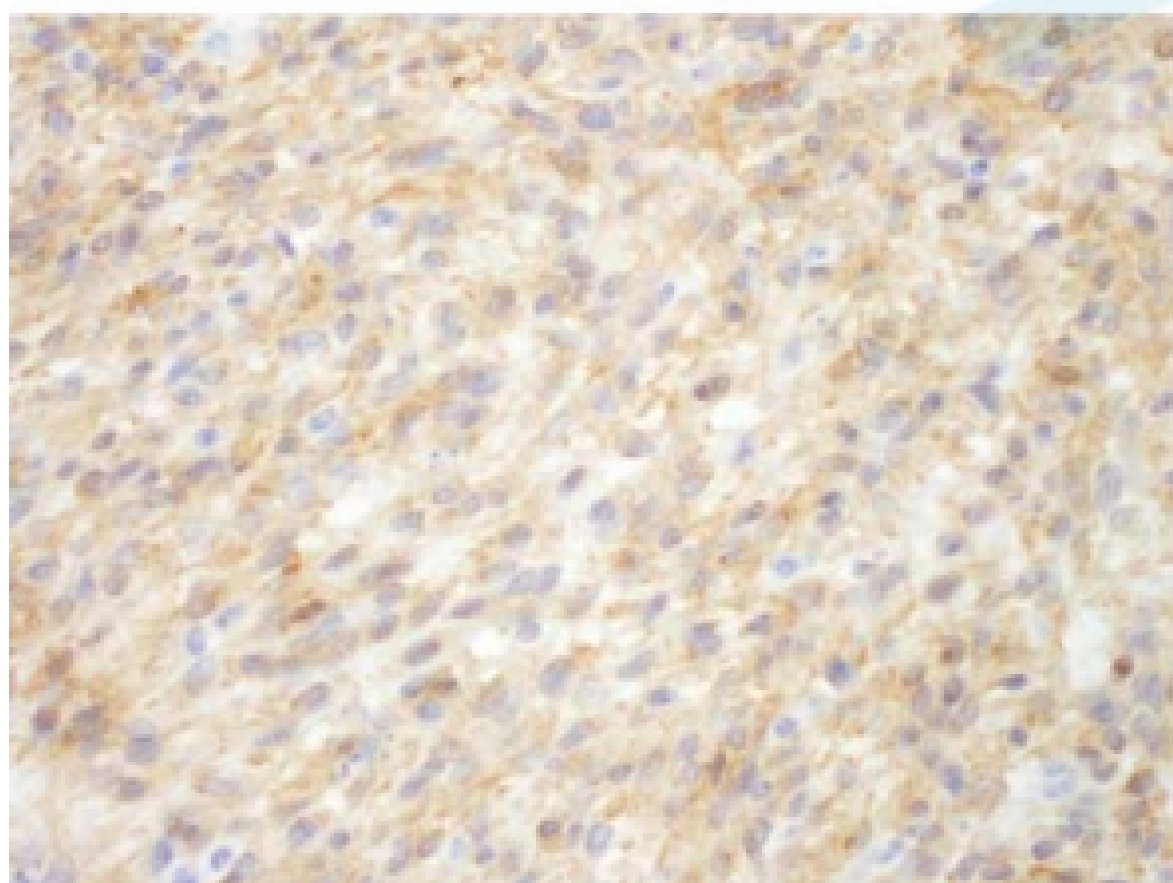


Case 1

*NTRK3* break-apart FISH



Case 2



# 鉴别诊断

- 隆突性皮肤纤维肉瘤
  - 位置表浅、席纹状排列
  - COL1A1-PDGFB融合基因
- 恶性孤立性纤维性肿瘤
  - STAT6 (+)
  - NAB2-STAT6融合基因
- 韧带样型纤维瘤病
  - 细胞密度低、无细胞异型
  - $\beta$ -catenin (核+)

# 结论

- 2例骨与软组织成人型纤维肉瘤中，发现新的  
**STRN-NTRK3和STRN3-NTRK3融合基因**
- 拓宽了NTRK融合相关肉瘤的基因学谱
- 可能为靶向治疗提供帮助



**Thanks for  
your  
attention!**